

$$\left(\frac{1}{\lambda \Delta t} + \frac{q}{R}\right) q_m^{n+1} = \frac{1}{\lambda \Delta t} q_m^n - \left(H + \frac{\eta_m^{n+1/2} + \eta_m^{n-1/2}}{2}\right) \cdot q \cdot \frac{\eta_{m+1}^{n+1/2} - \eta_m^{n+1/2}}{\Delta x} \quad (4)$$

$$\eta_m^{n+1/2} = \eta_m^{n-1/2} - \frac{q_m^n - q_{m-1}^n}{\Delta x} \cdot \frac{\Delta t}{\beta(z_m^n)} = \eta_m^{n-1/2} - \Delta \eta \quad (5)$$

$$q_m = \alpha \cdot q_m + (1-\alpha) \cdot (q_{m+1} + q_{m-1}) / 2 \quad [\alpha = 0.8] \quad (6)$$

次に z_m^n の値は η_{0max} の高さを基準にして、自由地下水面までの鉛直距離を用いて いる。なお $\beta(z_m^n)$ の値が過小であると、式-5 の $\Delta \eta$ が過大となり、解が発散する。したがって $\beta(z_m^n) < 0.01$ の場合は $\beta(z_m^n) = 0.01$ の一定値とあいて計算した。また有効空隙率の値は、砂層空隙率と同値と考え $\lambda = 0.43$ とした。

5. 検討

以上の数値解を実験結果と、代表地点において時間的に比較したものを図-4 に示している。実験結果は、奥行 20 cm の浸透水槽の一端に設けた長周期可変水頭装置により、全振幅 18.4 cm、周期 7 分 15 秒の水面上下運動を与えた場合の、10 周期目以降の水面測定結果である。図-5 の $\beta(z_m) = \lambda$ (一定値) とおいて求める従来の解法による結果と比較すれば、図-4 の数値解は、実験結果にほぼ追従しており、本解法の妥当性がある程度認められると考えられる。数値解は、傾向時には実験結果と比べて、水面上昇時の変化が大きく、下降時の変化が小さい。これは実際の比産出率の値が、浸潤過程と排水過程が異なった値を示す(ヒステリシス現象) こととも一因であろう。図-6 以降は、各時刻において、空間的に比較したものである。今後、比産出率のシミュレーションを今一度再検討し、解析値の精度を高めてゆきたいと考えている。

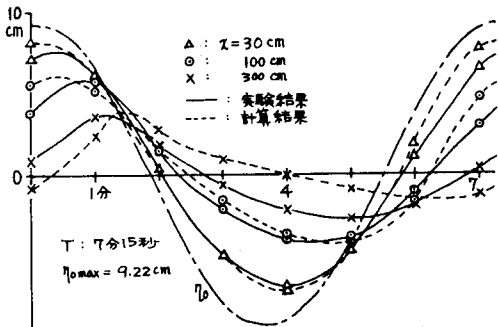


図-4 $\beta(z_m)$ の変化を取り入れた数値解と実験値との比較

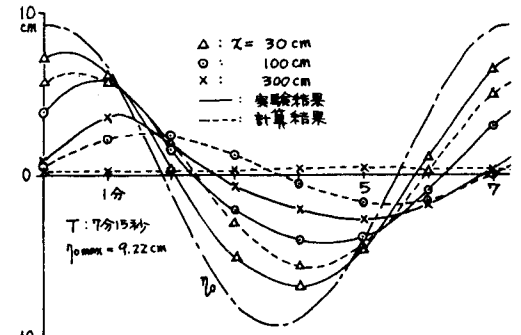


図-5 従来の解法による数値解と実験値との比較

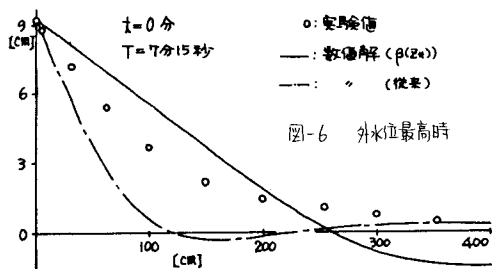


図-6 外水位最高時

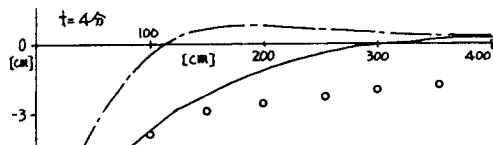


図-8

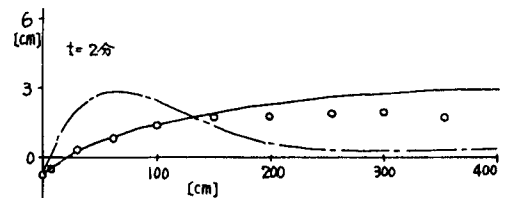


図-7

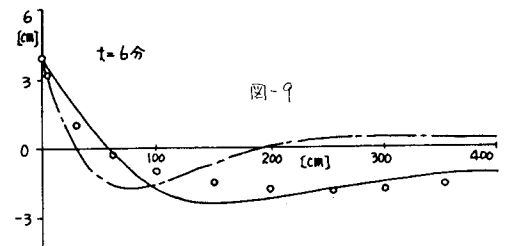


図-9

参考文献 1) 嶋：果水浸透水の波動現象に>112, 水28回年講・II-P373, S48, 10, 2) 建設省水政研究九ノア：最新地下水学, 山海堂, S.50-11
3) 杉尾：モンテカルロ法による土の比産出率の算定, 西沢技術研報, S.53-2, 4) 杉尾：浸透層内の長周期波の>112(2)報, 水32回年講・II-P485, S52-10